

ФОТОИНДУКТИВНЫЙ ЭФФЕКТ В ПТДП СТРУКТУРЕ

B. A. Манассон

В [1] было обнаружено, что в МТДП структуре, имеющей специальную конфигурацию металлического электрода, отклик на внешнее переменное напряжение может носить индуктивный характер. Там же предполагалось, что индуктивный эффект связан с реализацией усиления дырочного тока в областях, прилегающих к углам металлического электрода, по механизму, описанному в [2] и связанному с асимметрией протекания электронного и дырочного токов через тонкий диэлектрик.

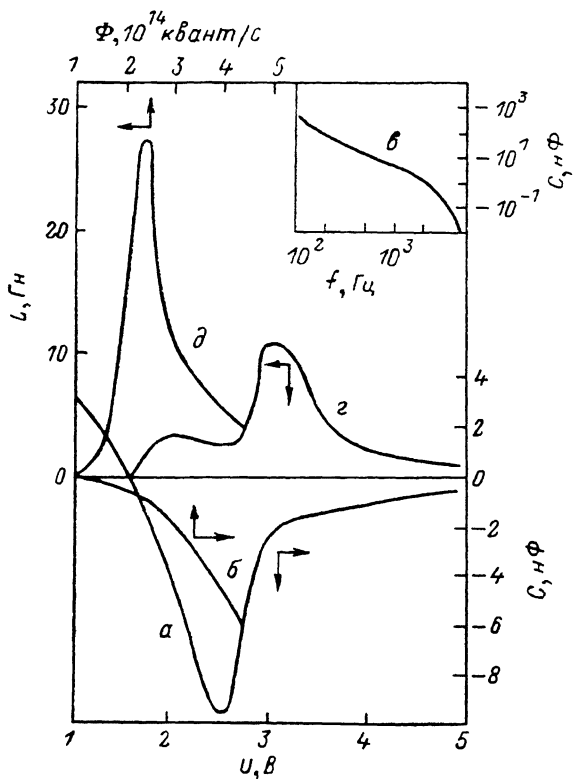


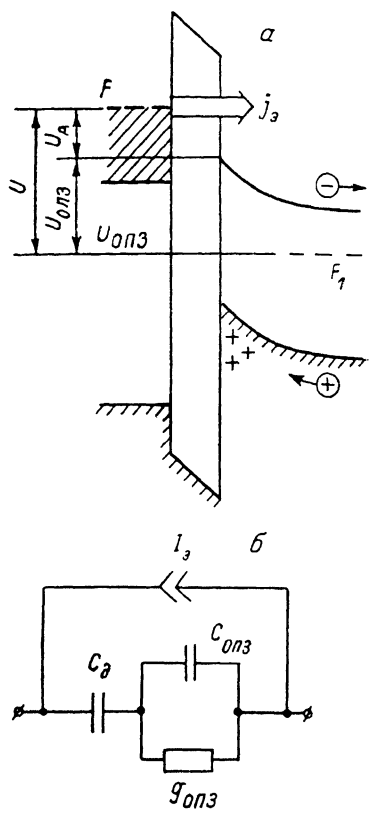
Рис. 1. Зависимости емкости C (a — e) и индуктивности L (z , δ) от постоянного напряжения U , освещенности Φ и частоты f .

Кривые a , b , g , δ измерены на частоте 10^4 Гц; b , δ , e — при напряжении $U = 2.75$ В; a , z , e — при освещении потоком $\Phi = 5 \cdot 10^{14}$ квант/с.

Рис. 2. Зонная диаграмма (a) и эквивалентная схема (b) гетероструктуры.

В [3, 4] были описаны ПТДП структуры типа $In_2O_3-SiO_2-Si$, в которых усиление тока фотогенерированных дырок связывалось с блокированием дырочного тока через диэлектрик запрещенной зоны In_2O_3 . В настоящей работе проведены исследования адmittанса таких структур при освещении и предложена модель, описывающая наблюдаемые эффекты.

На рис. 1 представлены зависимости емкости C гетероструктуры $In_2O_3-SiO_2-Si$ от постоянного смещения U , уровня освещенности Φ , частоты f , измеренные при помощи токового моста переменного тока. Переменное напряжение на образце U не превышало 30 мВ. Освещение производилось красным светодиодом. Из рисунка видно, что существует достаточно широкая область напряжений и частот, где емкость принимает отрицательные значения, т. е. структура обладает индуктивным откликом. Эквивалентная индуктивность L определялась по измеренным значениям C и G с использованием формулы



$$L = \frac{\operatorname{Im} Z}{\omega} = \frac{\operatorname{Im} (Y^{-1})}{\omega} = \frac{-C}{G^2 + \omega^2 C^2},$$

где Z — импеданс структуры.

Рассчитанные значения индуктивности представлены на рис. 1 кривыми ε и δ . Видно, что зависимости L от U и от Φ нелинейны и немонотонны. Величина L достигает значений, превышающих 10 Гн, что делает структуру перспективной для использования в качестве управляемой светом индуктивности.

Для выяснения причин, вызывающих индуктивный отклик, обратимся к зонной диаграмме гетероструктуры, показанной на рис. 2, а. Структура освещена. На нее подано запорное напряжение U . Слева расположен широкозонный полупроводник In_2O_3 с сильно вырожденным газом свободных электронов. Справа кремний электронного типа проводимости, в котором поверхностный изгиб зон соответствует частичному обеднению поверхности основными носителями. Через тонкий диэлектрик SiO_2 может протекать достаточно большой поток электронов j_s . Благодаря блокированию дырочных переходов из кремния в In_2O_3 запрещенной зоной последнего фотогенерированные дырки накапливаются у границы кремний—окисел. Накопление положительного заряда приводит к понижению потенциала границы, в результате чего происходит перераспределение приложенного к структуре напряжения между диэлектриком и ОПЗ полупроводника. Напряжение на первом возрастает, как следствие, возрастает поток инжектированных из In_2O_3 электронов. Электронная составляющая сквозного тока I_s через структуру, связанная с потоком j_s , в структурах с усилением фототока значительно превышает сумму всех остальных составляющих сквозного тока I , т. е. $I \approx I_s$.

Если к структуре дополнительно приложить небольшое переменное напряжение \tilde{U} , то оно также распределится между диэлектриком (\tilde{U}_d) и полуроводником ($\tilde{U}_{\text{ОПЗ}}$). Переменная составляющая электронного тока I_s будет пропорциональна \tilde{U}_d и будет совпадать с ним по фазе, т. е.

$$I_s = g \tilde{U}_d, \quad (1)$$

где g — коэффициент пропорциональности, имеющий размерность проводимости.

Эта величина не является полной активной проводимостью диэлектрика, так как не описывает дырочные токи. В дальнейшем для упрощения анализа мы будем пренебрегать дырочными токами через диэлектрик, а также падением напряжения на квазинейтральных частях структуры.

Упрощенная эквивалентная схема структуры для малого переменного сигнала представлена на рис. 2, б. Здесь C_d — емкость диэлектрика, определяющая его реактивную проводимость; $C_{\text{ОПЗ}}$ и $\sigma_{\text{ОПЗ}}$ — емкость и активная проводимость ОПЗ полупроводника. Нетрудно показать, что для приведенной эквивалентной схемы с учетом (1) адmittанс структуры

$$Y = G + i\omega C,$$

где

$$G = \frac{g\sigma_{\text{ОПЗ}} + g\omega^2 C_{\text{ОПЗ}}^2 + g\omega^2 C_{\text{ОПЗ}} C_d + g\sigma_{\text{ОПЗ}} \omega^2 C_d^2}{g\sigma_{\text{ОПЗ}} + \omega^2 (C_d + C_{\text{ОПЗ}})^2},$$

$$C = C_d \frac{g\sigma_{\text{ОПЗ}} + \omega^2 C_{\text{ОПЗ}}^2 + \omega^2 C_{\text{ОПЗ}} C_d - g\sigma_{\text{ОПЗ}}}{g\sigma_{\text{ОПЗ}} + \omega^2 (C_d + C_{\text{ОПЗ}})^2}. \quad (2)$$

Из выражений (2) видно, что емкость структуры C может принимать отрицательные значения, т. е. характер отклика на внешнее переменное напряжение будет индуктивным. Это происходит при выполнении неравенства

$$g > \sigma_{\text{ОПЗ}} + \omega (C_d + C_{\text{ОПЗ}}) \frac{\omega C_{\text{ОПЗ}}}{\sigma_{\text{ОПЗ}}}. \quad (3)$$

Реализация неравенства (3) более вероятна в структурах с большим коэффициентом усиления фототока, когда $g \gg \sigma_{\text{ОПЗ}}$, а также на низких частотах, когда $\sigma_{\text{ОПЗ}} > \omega C_{\text{ОПЗ}}$ и $g > \omega (C_d + C_{\text{ОПЗ}})$.

Физическая картина возникновения индуктивного эффекта заключается в том, что проводимость $\sigma_{\text{ОПЗ}}$ и емкость C_d составляют интегрирующую цепь, в которой напряжение на диэлектрике \tilde{U}_d отстает по фазе от приложенного к структуре напряжения \tilde{U} , а сквозной ток через структуру I по величине и фазе близок к току I_s , который совпадает по фазе с \tilde{U}_d . Таким образом, сквозной ток через структуру I отстает по фазе от приложенного напряжения \tilde{U} , что и является характерным для индуктивности.

Список литературы

- [1] Добровольский В. И., Жубаев С. Т., Нинидзе Г. К., Федосеев Н. И. // Письма в ЖТФ. 1986. Т. 12. Вып. 1. С. 55—59.
- [2] Green M. A., Shevchenko J. // Sol. St. Electron. 1974. Vol. 17. P. 349—365.
- [3] Манассон В. А., Баранюк В. Б., Товстюк К. Д. // ФТИ. 1987. Т. 21. Вып. 6. С. 1047—1050.
- [4] Манассон В. А., Баранюк В. Б., Товстюк К. Д. // Письма в ЖТФ. 1987. Т. 13. Вып. 13. С. 769—771.

Институт проблем материаловедения АН УРСР
Черновицкое отделение

Поступило в Редакцию
13 апреля 1989 г.

06

Журнал технической физики, т. 60, в. 4, 1990

© 1990 г.

ДИНАМИЧЕСКАЯ СТАБИЛИЗАЦИЯ ДОМЕННЫХ ГРАНИЦ В ФЕРРИТ-ГРАНАТОВЫХ ПЛЕНКАХ

A. H. Ануфриев

Исследованию кооперативных колебаний доменных границ (ДГ) в магнитных пленках посвящено большое количество работ [1—7]. В основном это работы, описывающие резонансные явления в доменной структуре [1—3] или релаксацию доменных границ в переменных [4—5] и импульсных [6] магнитных полях. Исследования в этой области позволяют оптимизировать режимы работы магнитооптических модуляторов и дефлекторов, основанных на использовании кооперативных колебаний ДГ.

№ образца	<i>h</i> , мкм	<i>w</i> , мкм	α	<i>H₀</i> , кА/м	<i>H_s</i> , кА/м
1	6.6	19	0.035	1.8	1.9
2	6.8	17	0.035	1.6	1.7
3	7.0	19	0.035	1.7	1.8
4	6.6	20	0.030	1.6	1.8
5	5.8	7.5	0.035	4.8	5.1

Приложение. *h* — толщина пленки, *w* — полупериод доменной структуры, α — коэффициент затухания, *H₀* — поле коллапса, *H_s* — поле насыщения пленки.

Работ, посвященных исследованию самоорганизации ДГ в условиях внешней накачки, процессам динамической стабилизации ДГ и образования устойчивых динамических структур, значительно меньше, хотя эти явления могут играть существенную роль в динамике перемагничивания феррит-гранатовых пленок.

В работе [7] описывается возникновение устойчивых динамических конфигураций ДГ в виде спиралей, имеющих различное количество витков и различные направления закручивания. Динамическая стабилизация ДГ, возникновение устойчивых динамических конфигураций ДГ в указанной работе наблюдались при воздействии на пленку синусоидальным магнитным полем с частотой 150 Гц — 18 кГц. Эффект проявлялся при амплитудах магнитного поля накачки, составляющих 0.75—0.95 поля насыщения пленки. Время жизни спиралей достигало десятков секунд.

Данная работа посвящена исследованию обнаруженного нами эффекта динамической стабилизации ДГ в импульсном магнитном поле в присутствии постоянного поля смещения, противоположного по направлению импульсному полю накачки.

Исследовались феррит-гранатовые пленки состава $(\text{BiTm})_3 \cdot (\text{FeGa})_5 \text{O}_{12}$, выращенные на подложках из галлий-гадолиниевого граната (ГГГ) с ориентацией (111). Параметры образцов приведены в таблице.

Образец 4 представлял собой часть образца 1, имплантированную ионами аргона с энергией 50 кэВ и дозой $6 \cdot 10^{15} \text{ см}^{-2}$. Наблюдения доменной структуры проводились с помощью